



Foto 9201. Aspecto del conjunto metasedimentario del embalse de las Vencías (unidad 2).

anterior.

Foto 9202. Detalle de los neises glandulares (unidad 3) intercalados en el conjunto





Foto 9203. Afloramiento de calizas y dolomías jurásicas (unidad 4) en el paraje de Altos Negros.



Foto 9204. Contacto erosivo de los depósitos aluviales cuaternarios (unidad 34) sobre la Fm. Arenas de Utrillas (unidad 5).



Foto 9206. Alternancia de calizas y margas de la Fm. Caballar (unidad 8) en las inmediaciones de Tejares.



Foto 9207. Resalte calcáreo de la Fm. Castrojimeno (unidad 9) en el monte Santa Lucía.

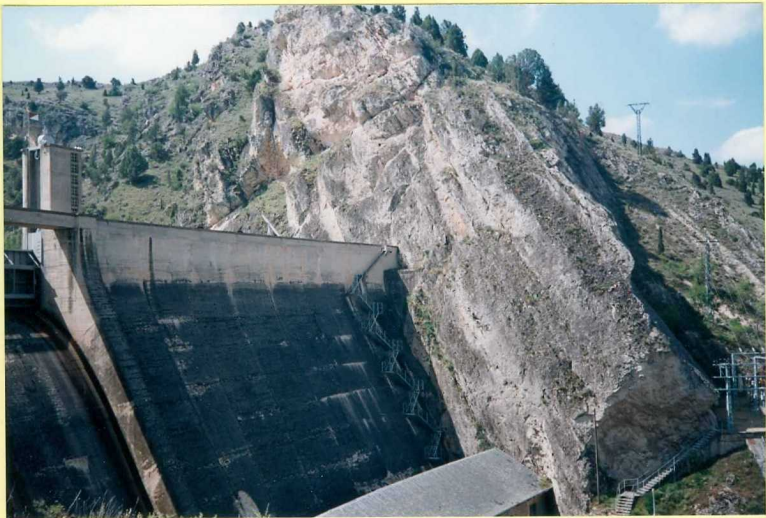


Foto 9208. Dolomías de la Fm. Castrojimeno (unidad 11) en la presa de Burgomillodo.



Foto 9209. Fm. Dolomías y margas de Valle de Tabladillo (unidad 12) en las proximidades de Carrascal del Río.



Foto 9210. Conglomerados calcáreos miocenos (unidad 12) junto a San Miguel de Bernuy.



Foto 9211. Conglomerado polimítico en el seno de las facies de Santa María del Campo (unidad 14) en el paraje de Los Majuelos.



Foto 9212. Niveles de paleosuelos en la unidad anterior, atribuida al Mioceno medio.



Foto 9213. Tránsito entre las facies aluviales meridionales (unidad 14) y las palustre-lacustres septentrionales (unidades 17 y 19) del Aragoniense - Vallesiense inferior en Valles de Fuentidueña.



Foto 9214. Típico aspecto de las facies de las Cuestas (unidad 17), culminadas por las calizas del páramo (unidad 19) en los alrededores de Sacramenia.



Foto 9215. Margas y calizas en las facies de las Cuestas en las proximidades de Fuentidueña.



Foto 9216. Inclusiones de nódulos de sílex en las margas del afloramiento anterior.



Foto 9217. Intercalaciones calcáreas (unidad 19) en las facies de las Cuestas.



Foto 9218. Aspecto de las intercalaciones anteriores.



Foto 9219. Canales oncolíticos en la base detrítica (unidad 20) del ciclo del páramo superior, asignado al Vallesiense - Turoliense.



Foto 9220. Conglomerados (unidad 22) de origen aluvial, equivalentes de borde de cuenca del ciclo páramo superior, en el arroyo de Torrubia.



Foto 9221. Abanicos aluviales pliocenos (unidades 23 y 24) al norte del macizo de Honrubia - Pradales.



Foto 9222. Típicos depósitos de “raña” (unidad 24), sobre arcillas pliocenas (unidad 23) en el arroyo de Torrubias.



Foto 9223. Lagunilla circundada por depósitos eólicos al oeste de Navalilla.



Foto 9224. Gravas y arenas de cono de deyección (unidad 34) en el arroyo de los Colmenares.



Foto 9225. Valle del río Duratón al norte de Fuentidueña.



Foto 9226. Cordón de dunas parabólicas (unidad 31) en el paraje de Hontanares.



Foto 9227. Espectacular acumulación de arenas eólicas (unidad 32) en Burgomillodo.



Foto 9228. Fenómenos de colapso en yesos de las facies de las Cuestas (unidad 18) en Vivar de Fuentidueña.



Foto 9205. Detalle de la Fm. Arenas y arcillas de Segovia (unidad 7) junto a Castro de Fuentidueña.